

Funding for this project was provided through the Strategic Investments in Northern Economic Development (SINED) program of Infrastructure Canada and Geospatial for Energy and Minerals (GEM) program of the Earth Sciences Sector, Natural Resources Canada. Project management and data quality control procedures were carried out by the Geological Survey of Canada.

Ce projet est financé par le programme des investissements stratégiques dans le développement économique du Nord (SINED) indiennes et du Nord canadien et le programme Développement géospatiale et minier (GEM) du ministère de l'Énergie et des Ressources naturelles Canada. La Commission géologique du Canada (CGC) est la personne du projet et le contrôle de la qualité des données dans le cadre du programme GEM.

## GSC OPEN FILE 6516 / DOSSIER PUBLIC 6516 DE LA CGC

## GEOPHYSICAL SERIES / SÉRIE DES CARTES GÉOPHYSIQUES

AIRBORNE GEOPHYSICAL SURVEY OF THE NORTHEAST THERON BASIN, NUNAVUT  
LEVÉ GÉOPHYSIQUE AÉROPORTÉ DE LA PARTIE NORD-EST DU BASSIN DE THERON, NUNAVUT  
NTS 66 B/12 AND 66 C/9 / SNRC 66 B/12 et 66 C/9

NATURAL AIR ABSORBED DOSE RATE  
TAUX D'ABSORPTION NATUREL DES RAYONS GAMMA DANS L'AIR

Authors: Harvey, B.J.A., Coyle, M., Buckle, J.L., Carson, J.M. and Hefford, S.W.

Data acquisition, compilation and map production by Goldak Airborne Surveys, Saskatoon, Saskatchewan. Contract and project management by the Geological Survey of Canada, Ottawa, Ontario.

Université technique Minerale Prospection  
Ottawa, Ontario, Canada, 2011  
Ottawa, Ontario, Canada, 2011

Propriété universitaire de l'Université de Montréal  
Système de référence géographique du Canada, 1983  
Système de la Référence du Cadre du Canada, 1983

Données géophysiques numériques du Géodat, Ressources naturelles Canada

Scale 1:50 000 - Échelle 1/50 000  
metres 1000 0 1000 2000 3000 mètres  
NAD83 / UTM zone 14N

L'acquisition, la compilation des données ainsi que la production des cartes furent effectuées par Goldak Airborne Surveys, Saskatoon. La gestion et la supervision du projet furent effectuées par la Commission géologique du Canada, Ottawa (Ontario) K1A 0E9, Téléphone : (613) 995-5322, courriel : [ifogd@gc.ca](mailto:ifogd@gc.ca).

Propriété universitaire de l'Université de Montréal  
Système de référence géographique du Canada, 1983  
Système de la Référence du Cadre du Canada, 1983

Données géophysiques numériques du Géodat, Ressources naturelles Canada

Données géophysiques numériques du Géodat, Ressources naturelles Canada

Auteurs : Harvey, B.J.A., Coyle, M., Buckle, J.L., Carson, J.M. et Hefford, S.W.

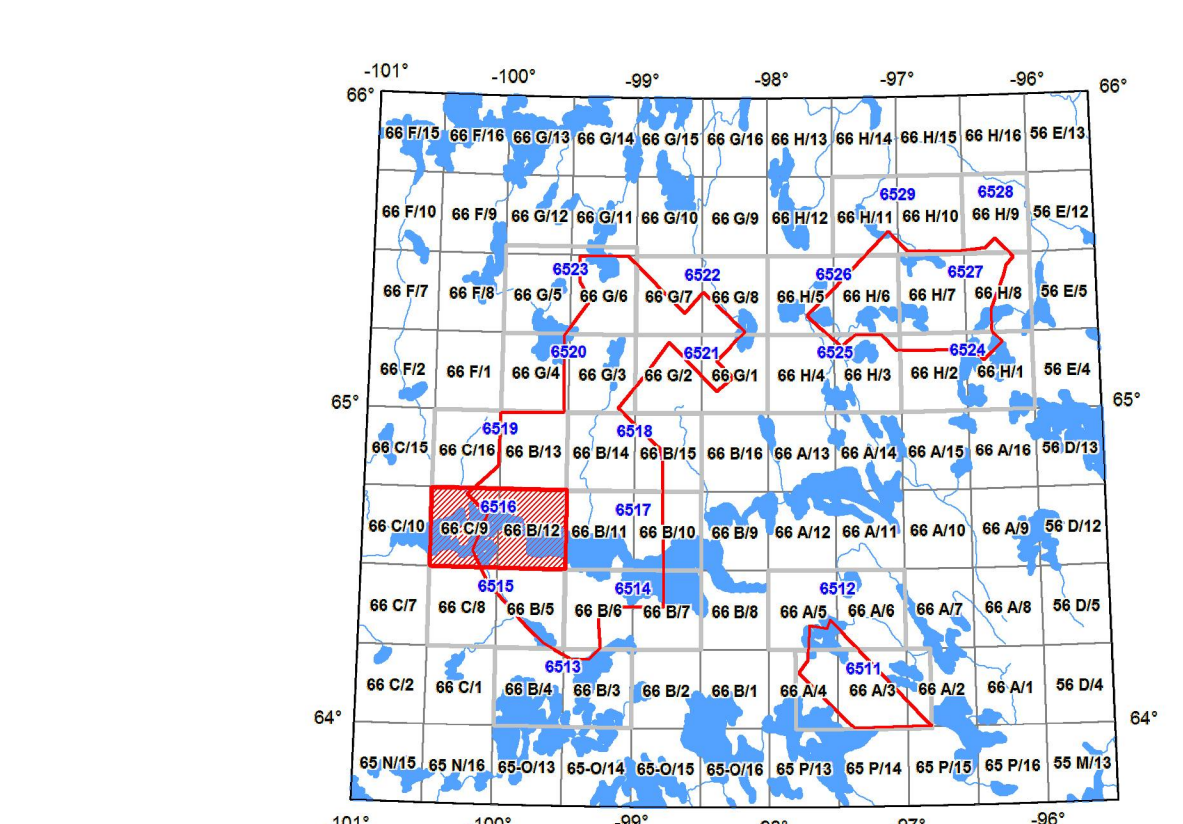
Acquisition, compilation et production de la carte par Goldak Airborne Surveys, Saskatoon, Saskatchewan. Gestion et supervision du projet par la Commission géologique du Canada, Ottawa, Ontario.

Propriété universitaire de l'Université de Montréal  
Système de référence géographique du Canada, 1983  
Système de la Référence du Cadre du Canada, 1983

Données géophysiques numériques du Géodat, Ressources naturelles Canada

Données géophysiques numériques du Géodat, Ressources naturelles Canada

MAP SHEET SUMMARY / SOMMAIRE DES FEUILLES	
Sheet Feuillet	MAP / CARTE
1. Taux d'Absorption naturel des rayons gamma dans l'air	
2. Potassium	
3. Uranium	
4. Thorium	
5. Uranium / Thorium	
6. Thorium / Potassium	
7. Potassium / Thorium	
8. Ternary Radiometric Map Diagramme ternaire des radémétiers	
9. Radiometric Profile Profil radiométrique	
10. Composante réduite du champ magnétique total	
11. First Vertical Derivative du champ magnétique	
12. Profil vertical du champ magnétique	



OPEN FILE DOSSIER PUBLIC	
6516	Geological Survey of Canada Commission géologique du Canada
2011	2011
SHEET 1 OF 10 FEUILLET 1 DE 10	Publication in this series have not yet ended. They are released as soon as they are ready. Les publications de ce dossier dans cette série n'ont pas encore été terminées. Elles sont révélées au fur et à mesure qu'elles sont prêtes.

Recommended citation:  
Harvey, B.J.A., Coyle, M., Buckle, J.L., Carson, J.M. and Hefford, S.W., 2011.  
Airborne Geophysical Survey of the Northeast Thelon Basin, Nunavut,  
Geological Survey of Canada, Open File 6516,  
ISBN 978-0-660-2000-0-1  
Notable bibliographic sources:  
Harvey, B.J.A., Coyle, M., Buckle, J.L., Carson, J.M. and Hefford, S.W., 2011.  
Série des cartes géophysiques,  
Levée géophysique aéroportée de la partie nord-est du bassin de Thelon, Nunavut,  
SNRC 66 B/12 et 66 C/9,  
Carte topographique du Canada, Dossier public 6516,  
échelle 1/50 000.

## Introduction

A gamma-ray spectrometer and a magnetometer airborne platform survey of the northeast Thelon Basin area was completed by Goldak Airborne Surveys. The survey was conducted between August 22 and September 26, 2009 using Piper PA-31 aircraft. The survey altitude was 125 m above ground level (AGL). Traverse lines were oriented 135° with orthogonal control lines. The flight path was recovered following post-flight corrections to raw data recorded by a Global Positioning System. The survey was conducted at a mean altitude of 125 m above ground level (AGL).

## Gamma-Ray Spectrometry Data

The airborne gamma-ray measurements were made with a 1460 keV gamma-ray spectrometer using four 102x102x406 mm NaI (Tl) crystals. The main detector array consisted of twelve crystals (total volume 50.4 litres), whereas potassium and thorium are measured indirectly from gamma-ray photons emitted by daughter products ( $K^+$  for potassium and  $T^{+}$  for thorium). Although these daughters are far down their respective decay chains, they are assumed to be in equilibrium with their parent nuclides. The energy windows used to measure potassium, uranium and thorium are 130-157 keV, 1660-1860 keV, and 2410-2810 keV.

Gamma-ray spectra were recorded at one-second intervals. Data processing followed standard procedures as described in IAEA, 1991 and IAEA, 2003. The energy windows used to measure potassium, uranium and thorium are 130-157 keV, 1660-1860 keV, and 2410-2810 keV. Window and radiation of energies greater than 3000 keV was recorded in the cosine window. The window counts were corrected for dead time, background activity from the detector assembly, and the energy calibration of the detectors. Corrections for deviations from the planned terrain clearance and for variation of temperature and pressure were made prior to conversion to ground concentrations of potassium, uranium and thorium, using factors determined from flights over the Diskeruk, Saskatchewan test strip. The factors for potassium, uranium, and thorium are listed in Table 1.

	C-GJBA	C-GJBB	C-GJBG
Potassium (cpm%)	79.63	81.63	79.39
Uranium (cpm/pmol)	11.55	12.11	12.39
Thorium (cpm/pmol)	5.15	5.03	4.96

Table 1. Gamma-Ray spectrometer sensitivities for each array.

Corrected data were interpolated to a 100 m grid interval. The results of an airborne gamma-ray spectrometer survey represent the average surface concentrations of the 3 natural radionuclides, and are influenced by nature or overburden, presence of cuttings, vegetation cover, soil moisture and surface water. As a result the measured concentrations are usually lower than the actual bedrock concentrations.

## Magnetic Data

The magnetic field was sampled 10 times per second using a spin-beam cesium vapour magnetometer (sensitivity = 0.005 nT) rigidly mounted to the aircraft. Differences in magnetic values at the intersections of control and traverse lines were obtained to a mutually leveled level of flight-line magnetic data. The leveled values were then interpolated to a 100 m grid. The resulting magnetic data were converted to a 100 m grid. The resolution of the magnetic data is 10 times better than the resolution of the terrain data.

The first vertical derivative of the magnetic field is the rate of change of the magnetic field in the vertical direction. Computation of the first vertical derivative removes long wavelength features of the magnetic field and significantly improves the resolution of closely spaced and superposed anomalies. A property of first vertical derivative maps is the coincidence of the zero-value contour with vertical contacts of magnetic units at high magnetic latitudes (Hoover, 1965).

## LEVÉ GÉOPHYSIQUE AÉROPORTÉ DE LA PARTIE NORD-EST DU BASSIN DE THERON, NUNAVUT

Un levé géophysique aéroporté de spectrométrie gamma et magnétique a été réalisé dans la partie nord-est du bassin de Thelon au Nunavut par la société Goldak Airborne Surveys. Le survol a été effectué entre le 22 et le 26 septembre 2009, à bord de trois avions Piper PA-31 (Nuvavut (C-GJBA, C-GJBB, C-GJBG)). L'atterrisseur nominal était de 102x102x406 mm. Le niveau de vol était fixé à 125 m au-dessus du niveau de la Terre. Les lignes de contrôles et les lignes de tracé étaient orientées à 135° et les lignes de contrôle étaient perpendiculaires. La trajectoire de vol a été modifiée par l'application après les corrections différentes aux intersections des lignes de contrôle et des lignes de tracé avec l'aide d'un détecteur de champ magnétique et aux intersections des lignes de contrôle avec le sol.

## Données de spectrométrie gamma

Les mesures du rayonnement gamma ont été effectuées à l'aide d'un spectromètre gamma Radiation Solutions RS-500 utilisant quatre cristaux de NaI (Tl) pour 102x102x406 mm. Le principe de fonctionnement consiste à faire passer des échantillons de poussière dans un tube à gaz et à déterminer la présence de radon dans l'échantillon. Des échantillons de poussière sont prélevés à l'aide d'un aspirateur et sont analysés par ordinateur afin d'obtenir des résultats en ppm. Bien que ces radionucléides de potassium et de thorium soient mesurés indirectement par les photons gamma émis par des produits de fission ( $K^+$  pour le potassium et  $T^{+}$  pour le thorium), bien que ces radionucléides de potassium et de thorium soient mesurés indirectement par les photons gamma émis par des produits de fission ( $K^+$  pour le potassium et  $T^{+}$  pour le thorium), les mesures sont effectuées avec une sensibilité de 0.005 ppm. Bien que les radionucléides de potassium et de thorium soient mesurés indirectement par les photons gamma émis par des produits de fission ( $K^+$  pour le potassium et  $T^{+}$  pour le thorium), les mesures sont effectuées avec une sensibilité de 0.005 ppm.

Le potassium est mesuré directement à l'aide des photons de fission ( $K^+$ ) pour le potassium et le thorium sont mesurés indirectement selon les photons gamma émis par des produits de fission ( $T^{+}$ ) pour le thorium. Bien que ces radionucléides de potassium et de thorium soient mesurés indirectement par les photons gamma émis par des produits de fission ( $K^+$  pour le potassium et  $T^{+}$  pour le thorium), les mesures sont effectuées avec une sensibilité de 0.005 ppm.

Les spectres de rayonnement gamma ont été enregistrés à intervalles d'une seconde. Le traitement des données a été effectué à l'aide d'un programme de calcul qui prend en compte les variations de la densité de l'air et de l'humidité. Les courbes obtenues à l'aide des capteurs de radon ont été enregistrées dans la plage de 1600 à 1860 keV et le rayonnement de 3000 keV a été enregistré dans la plage de 2410 à 2810 keV. Les courbes obtenues à l'aide des capteurs de radon ont été enregistrées dans la plage de 1600 à 1860 keV et le rayonnement de 3000 keV a été enregistré dans la plage de 2410 à 2810 keV. Les courbes obtenues à l'aide des capteurs de radon ont été enregistrées dans la plage de 1600 à 1860 keV et le rayonnement de 3000 keV a été enregistré dans la plage de 2410 à 2810 keV.

Les spectres de rayonnement gamma ont été enregistrés à intervalles d'une seconde. Le traitement des données a été effectué à l'aide d'un programme de calcul qui prend en compte les variations de la densité de l'air et de l'humidité. Les courbes obtenues à l'aide des capteurs de radon ont été enregistrées dans la plage de 1600 à 1860 keV et le rayonnement de 3000 keV a été enregistré dans la plage de 2410 à 2810 keV.

La dérivée première du champ magnétique représente le taux de variation du champ magnétique suivant la verticale. Le calcul de la dérivée première verticale suppose les composantes de grande longueur d'onde du champ magnétique et améliore considérablement la résolution des anomalies rapportées les usages des données de la dérivée première verticale. La dérivée première verticale supprime les composantes de grande longueur d'onde du champ magnétique et améliore considérablement la résolution des anomalies rapportées les usages des données de la dérivée première verticale.

La dérivée première verticale du champ magnétique représente le taux de variation du champ magnétique suivant la verticale. Le calcul de la dérivée première verticale supprime les composantes de grande longueur d'onde du champ magnétique et améliore considérablement la résolution des anomalies rapportées les usages des données de la dérivée première verticale.

## Données sur le champ magnétique

Le champ magnétique a été échantillonné 10 fois par seconde à l'aide d'un magnétomètre à vapeur de cézium à faible portée (sensibilité = 0.005 nT) rigidelement fixé à l'avion. Les différences de valeur du champ magnétique aux intersections des lignes de contrôle et des lignes de levé ont été analysées par ordinateur afin d'obtenir des données de niveau de 100 m. Le champ géomagnétique international de référence (International Geomagnetic Reference Field, IRGF) défini à l'auteur moyen fourni par les données de niveau de 100 m. La composante réduite essentiellement reliée à la magnétisation de l'océan terrestre.

La dérivée première verticale du champ magnétique représente le taux de variation du champ magnétique suivant la verticale. Le calcul de la dérivée première verticale supprime les composantes de grande longueur d'onde du champ magnétique et améliore considérablement la résolution des anomalies rapportées les usages des données de la dérivée première verticale.

## Données sur le planimétrique

Le planimétrique a été échantillonné 10 fois par seconde à l'aide d'un magnétomètre à vapeur de cézium à faible portée (sensibilité = 0.005 nT) rigidelement fixé à l'avion. Les différences de valeur du champ magnétique aux intersections des lignes de contrôle et des lignes de levé ont été analysées par ordinateur afin d'obtenir des données de niveau de 100 m. Le champ géomagnétique international de référence (International Geomagnetic Reference Field, IRGF) défini à l'auteur moyen fourni par les données de niveau de 100 m. La composante réduite essentiellement reliée à la magnétisation de l'océan terrestre.

## Sensibilité des spectromètres de chaleur des aéronefs

Les données de rayonnement gamma ont été enregistrées suivant une grille à 100 m. Les différences de valeur du rayonnement gamma suivant la verticale et le niveau de surface. Par conséquent, les concentrations mesurées sont habituellement plus faibles que les concentrations relatives dans le substratum rocheux.

## Données sur le planimétrique

Le planimétrique a été échantillonné 10 fois par seconde à l'aide d'un magnétomètre à vapeur de cézium à faible portée (sensibilité = 0.005 nT) rigidelement fixé à l'avion. Les différences de valeur du champ magnétique aux intersections des lignes de contrôle et des lignes de levé ont été analysées par ordinateur afin d